

تحلیل فضایی و زمانی جزایر گرمایی مناطق شهری گرگان

علی محمدپورزیدی^۱، بهلول علیجانی^۲، مهری اکبری^۳، پرویز ضیائیان فیروزآبادی^۴

^۱دانشجوی دکتری آب و هواشناسی شهری دانشگاه خوارزمی تهران

^۲استاد دانشگاه تربیت معلم و مدیر قطب علمی تحلیل فضایی مخاطرات محیطی

^۳استادیار گروه آموزشی آب و هواشناسی دکتری آب و هواشناسی از دانشگاه تهران

^۴دانشیار گروه آموزشی سنجهش از راه دور و GIS، دانشگاه خوارزمی، تهران

تاریخ دریافت: ۹۸/۲/۱۷؛ تاریخ پذیرش: ۹۸/۹/۲۰

چکیده

شهرنشینی نمایانگرترین تغییر بشر در سطح زمین است که به طور معمول منجر به تشکیل جزایر گرمای شهری می‌شود. دمای سطح زمین یک پارامتر مهم برای تعادل انرژی سطح و مطالعات آب و هوای شهری است. آگاهی از پراکندگی مکانی دما، زمینه‌ساز برنامه‌ریزی و سیاستگذاری‌های درست محیطی است. در این پژوهش با استفاده از تصاویر ماهواره‌لندهای ۷ در دو دوره زمانی سال پایه (۲۰۱۰-۲۰۱۷) و بازه دوم (۲۰۰۵-۲۰۰۰) به صورت میانگین در سه ماه گرم سال مورد استفاده قرار گرفته است. بعد بر روی این تصاویر، اول تصحیح هندسی انجام گرفت سپس از این تصاویر جهت محاسبه پارامترهای مربوط به استخراج دما به روش تک پنجه‌ای شهر گرگان استفاده گردید و در ادامه برای بالا بردن دقت کار با استفاده از داده‌های ساعتی دمای ایستگاه مورد نظر در تحلیل جزایر حرارتی مورد استفاده قرار گرفت. نتایج نشان می‌دهد تغییرات زمانی و مکانی جزایر حرارتی در شهر گرگان، الگوی خوش‌های بالایی دارد. در حالی که شاخص موران محلی و لکه‌های داغ در قسمت‌های شمالی، شمال غربی و شرقی و مرکز شهر همبستگی فضایی مثبت (لکه‌های داغ) دارند و همچنین لکه‌های سرد در مناطق جنوبی شهر وجود دارد. این در حالی است که قسمت‌های زیادی از شهر گرگان هیچ‌گونه الگوی معنی‌داری یا خود همبستگی فضایی در طی دوره مطالعه در آن دیده نمی‌شود. می‌توان گفت جزایر حرارتی شهر گرگان به دو عامل بستگی دارد: یک شرایط اقلیمی حاکم در دوره مطالعه و دوم شرایط انسایی حاکم بر شهر.

واژه‌های کلیدی: تحلیل فضایی، جزایر حرارتی، خودهمبستگی فضایی، گرگان، موران

منجر به کاهش کیفیت زندگی شده است (فن و همکاران، ۲۰۱۴؛ وو و همکاران، ۲۰۰۸) و به خوبی شناخته شده و مستند شده است. شهرنشینی می‌تواند اثرات قابل توجهی بر آب و هوای شهری و آب و هوای محلی داشته باشد (لو و همکاران، ۲۰۱۱؛ ۱۵۳۵). تفاوت دمای هوا در داخل شهر در مقایسه با مناطق حومه و روستاهای اطراف شهر، به عنوان جزایره حرارتی شهری (UHI) شناخته می‌شود (گریگوراس و همکاران، ۲۰۱۸؛ ۱۴). از علل اصلی ایجاد جزیره حرارتی، جایگزین شدن پوشش طبیعی زمین با عوارض شهری همچون سنگفرش،

مقدمه و طرح مسئله

شهرنشینی یکی از ویژگی‌های مهم توسعه اقتصادی و اجتماعی است (لو و همکاران، ۲۰۱۷: ۱). طی دهه‌های گذشته سطح زمین دستخوش تغییرات فراوان ناشی از فعالیت‌های انسانی از جمله تغییرات کاربری اراضی و توسعه شهرها شده است (فیروزجایی و همکاران، ۱۳۹۶: ۱۲۴). این تغییرات گستردۀ انسانی، پیامدهای ناخواسته و ناخوشایندی همچون افت کیفی محیط‌زیستی را به همراه آورده که

فعالیت‌های صنعتی همراه با عناصر اقلیمی از جمله دمای کمینه، بیشینه و بادبین شهر تهران و اطراف آن اثرات جزایر حرارتی را با این عوامل بررسی کردند. نتایج نشان داد دمای کمینه نسب به بیشنه تهران نسبت به اطراف بیشترین تغییرات را ایجاد می‌کند و فعالیت‌های شهری در کاهش باد شمالی نقش مؤثری در افزایش جزایر حرارتی پایتخت دارد. سasan پور و همکاران (۱۳۹۲) با استفاده از الگوریتم تک پنچره‌ای به جزایر حرارتی و انواع ساختهای پوشش گیاهی در شهر تهران پرداختند. نتایج بررسی نشان داد که ارتباط مستقیم میان جزایر حرارتی شهری، ساختار شهری در مناطق شهری تهران وجود دارد. این در حالی است که یک رابطه معکوس بین ساختهای NDVI و دمای جزایر حرارتی شهری تهران وجود دارد. محرومی (۱۳۹۳) به بررسی نقش کاربری اراضی در تولید جزیره حرارتی شهری تبریز پرداخت. نتایج به دست آمده نشان داد که با افزایش شهرنشینی و کاهش پوشش گیاهی باعث گرمای سطح شهر تبریز به خصوص مناطق صنعتی و کارگاهی این شهر شده است. متکان و همکاران (۱۳۹۳) به نقش کاربردی اراضی در شکل-گیری جزیره حرارتی شهر بندرعباس پرداختند. آنها دمای سطح زمین را با آمار کلاسیک مورد بررسی قرار دادند؛ نتایج نشان داد که مناطق صنعتی زمین شهری با درجه حرارت بالا با مناطق دیگر به خصوص مناطق ساحلی که به دلیل مجاورت با آب و پوشش گیاهی و فضای سبز به دلیل تبخیر و تعرق دمای کمتری نسبت به کاربری‌های دیگر دارد، اما صادقیان و همکاران (۱۳۹۲) با استفاده از کاربرد تکنیک‌های خودهمبستگی فضایی در تحلیل جزیره حرارتی شهری تهران نشان دادند با توجه به شاخص خودهمبستگی عمومی فضایی ساختار جزیره حرارتی دارای صورت فضایی و به شکل خوش‌های است. آنها دریافتند که عامل اصلی در ایجاد گسترش این پدیده در شهر رشد سریع وبی برنامه‌بریزی و از بین بردن پوشش گیاهی بوده است که می‌تواند این ساختارهارا مورد دستخوش خودش قرار بدهد. از افرادی دیگری همچون: بابایی‌فینی (۱۳۹۴)، نارنگی‌فرد و همکاران

ساختمان و سایر ساخت و سازهای شهری است که اثرات خنک‌کنندگی سطح را از بین می‌برند؛ همچنین، ساختمان‌های بلند و خیابان‌های باریک جریان هوا را کاهش داده و هوای پیرامون را گرم‌تر می‌کند. این عوامل منجر به شکل‌گیری پدیده جزیره حرارتی شهری می‌شود (چن‌دلر^۱، ۱۹۷۰؛ شوارتز^۲، ۲۰۱۲؛ وگوت^۳، ۲۰۰۳؛ رو^۴، ۲۰۱۰). مناطق شهری آب و هوا را تغییر می‌دهد؛ بازخوردهای آن بر سلامت انسان و مصرف انرژی اثرگذار است، این دو جنبه به تنهایی برای ایجاد انگیزه و علاقه به مطالعات جزایر حرارتی شهری کافی است. جزایر حرارتی شهری بر آب و هوای شهرهای تأثیر می‌گذارد، فنولوژی گیاه را تغییر می‌دهد و با افزایش گرمایش جهانی، شدت جزایر حرارتی شهری نیز افزایش می‌یابد و اثرات آنها در آینده بیشتر خواهد شد (ویکتوریا و همکاران، ۲۰۱۷: ۱). باید در مورد پیشینه این موضوع یک برگشتی به اواخر قرن ۱۸ و اوایل قرن ۱۹ داشته باشیم که در آن لوک‌هاورد برای اولین بار به پژوهش و بررسی آب و هوای شهری لندن پرداخت و این پدیده را اندازه‌گیری و بعد مورد بررسی قرارداد. سپس مانلی در سال (۱۹۵۸) در مجله سلطنتی هواشناسی انگلستان این پدیده را وارد علم آب⁻ و هواشناسی شهری کرد. تا به امروز محققان زیادی در سراسر دنیا به طور جدی به تحقیق و بررسی ویژگی‌های این پدیده پرداختند. از جمله می‌توان از: (یو و همکاران^۵، ۲۰۱۴)، هارددی^۶ (۲۰۱۵)، همکاران^۷ (۲۰۱۵)، ابوال‌ماغد و همکاران^۸ (۲۰۱۶)، جات^۹ (۲۰۱۷) را می‌شود نام برد و مطالعاتی که در ایران صورت گرفته را می‌توان از افرادی همچون: رنجبر سعادت‌آبادی و همکاران (۱۳۸۴) در مقاله‌ای براساس چند عامل از جمله توسعه شهرنشینی و

1. Chandler

2. Schwarz

3. Voogt

4. Zhu

5. Yu et al.

6. Hardy

7. Wang et al.

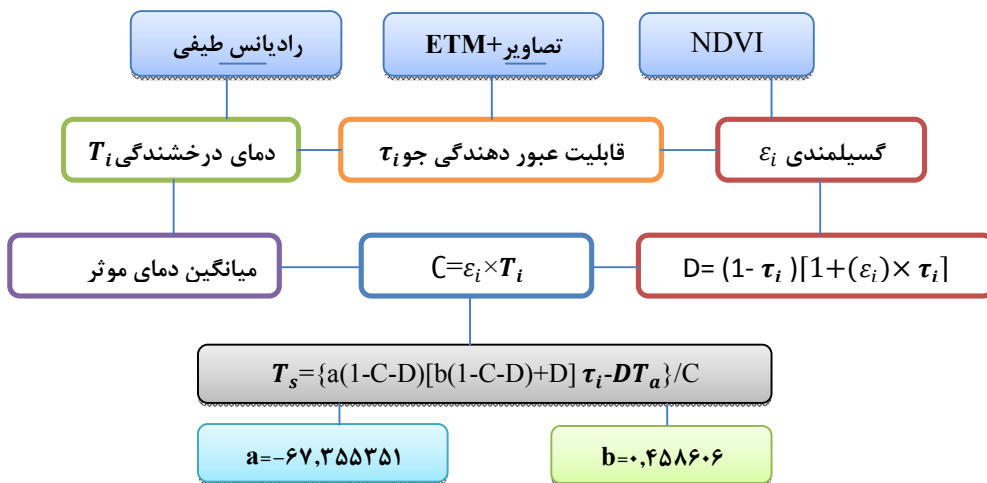
8. Abou El-Magd et al.

9. Jat

روش تحقیق: در این پژوهش از تصاویر لندست ۷ جهت بررسی جزایر حرارتی شهر گرگان استفاده گردید. این تصاویر به صورت میانگین در دو دوره زمانی سال پایه (۲۰۱۰-۲۰۱۷) و بازه دوم (۲۰۰۵-۲۰۰۰) در دوره سه ماه گرم سال هستند. ابتدا بر روی این تصاویر تصحیح هندسی اجرا شد، بعد این تصاویر جهت محاسبه پارامترهای مربوط به استخراج دما به روش تک پنجره‌ای شهر گرگان مورد استفاده قرار گرفت، سپس با استفاده از داده‌های ساعتی ایستگاه مورد نظر در تحلیل پارامترها مورد استفاده قرار گرفت و در ادامه به تحلیل فضایی جزایر شهری گرگان پرداخته شد. در الگوریتم (۱) روند جزئیات مربوط به این روش آورده شده است.

(۱۳۹۵)، قبادی و همکاران (۱۳۹۵) می‌توان نام برد. در این پژوهش با استفاده از داده‌های ماهواره‌ای لندست به بررسی تغییرات فضایی و زمانی جزایر حرارتی شهر گرگان پرداخته خواهد شد. با توجه به قدرت و اهمیت تصاویر ماهواره‌ی و با تلفیق این قدرت با توان روش‌های تحلیل فضایی در مطالعات اقلیم شهری به مطالعه و بررسی ارتباط دمای سطحی با سایر پارامترهای شهری از جمله کاربری اراضی، پوشش گیاهی، اثرات باد و اقلیم آسایش شهری در جهت تدوین برنامه‌ریزی محیطی و طراحی فضایی شهری درجهت کاهش اثرات این پدیده در زندگی شهری و ایجاد شهر پایدار پرداخته خواهد شد.

مفاهیم دیدگاه‌ها و مبانی نظری



الگوریتم (۱): روند جزئیات استخراج دمای سطح زمین

(۲۰۰۱) ارائه شده، آنها برای ارزیابی دقیق از خطای کمتر از ۱/۱ درجه سانتی گراد استفاده نمودند. این در حالی بود که لو و هانگ (۲۰۱۱) این میزان خطای ارزیابی را حدود ۷۰/۰ رسانند. الگوریتم تک‌باندی براساس سه پارامتر محاسبه می‌شود که شامل: قابلیت عبور دهنگی جو، میانگین دمای مؤثر جو و گسیلمندی سطحی است که با داده‌های هواشناسی ایستگاه زمینی برای ساعت مورد نظر ترکیب می‌شود. قبل از محاسبه میزان انتشار در مناطق شهری، بسیار

ماهواره لندست از نسل‌های مختلفی تشکیل شده است. برای مدت طولانی است که به پایش سطح زمین می‌پردازد. داده‌های این ماهواره برای مطالعه تغییرات جهانی و مطالعات مربوط به کشاورزی، زمین‌شناسی، برنامه‌ریزی منطقه‌ای و محیط‌های شهری استفاده شده است (صادق‌نیا و همکاران، ۱۳۹۲: ۷۰). روش‌های مختلفی برای سنجش جزایر حرارتی شهری وجود دارد که از آن جمله؛ روش الگوریتم تک‌باندی است که توسط کین و همکاران

به دست آمده را به تقریب ارزیابی کرد. رابطه (۵) ساده‌ترین و مناسب‌ترین مدل خطی است (لو، ۲۰۱۱):

$$T_a = 16.011 + 0.92621 \times \text{LST} \quad (5)$$

جایی که T_a درجه حرارت هوای زدیک به سطح است. در این مقاله، ما با استفاده از داده‌های هواشناسی دقیق و صحیح T_a را بهبود دادیم. که برای ایستگاه گرگان این فرمول به این قرار است. $T_a = 12.01 + 0.28 \times \text{LST}$. در انتهای با داشتن تمام این مراحل به استخراج نهایی دمای سطح زمین می‌پردازیم که از رابطه (۶) است:

$$\text{رابطه (6)}$$

$$T_s = \{a_6(1 - C_6 \cdot D_6) + [b_6(1 - C_6 \cdot D_6) + C_6 + D_6]T_6 + D_6 T_a\} / C_6$$

قابلیت عبوردهندگی جو و T_i ، میانگین دمای مؤثر جو T_a ، دمای مؤثر در اتمسفر دمای درخشندگی T_i ، دمای سطح زمین، λ میزان گسیلمندی سنت (زانگ^۷، ۲۰۱۵؛ چین^۸، ۲۰۱۵). هدف تجزیه و تحلیل درجه حرارت در یک شهر، پیدا کردن جالب ترین مناطق که دارای همبستگی دمایی است (مارتین، ۲۰۱۵). این هدف شبیه به تجزیه و تحلیل نقطه به نقطه در زمینه زمین آمار است. یکی از اساسی‌ترین رویکردها، موران است (موران، ۱۹۵۰)، که در تست این نقاط، آیا وابستگی فضایی وجود دارد و یا اطلاعات مربوط به وابستگی‌های جهانی در یک مجموعه داده را ارائه می‌دهد. چندین آزمون زمین آمار بر اساس این فرضیه تست شده است. LISA شناخته‌شده‌ترین آماره Getis-Ord و است. در هر دو مورد، در زمینه روندهای محلی کاربرد دارد (برونز^۹، ۲۰۱۷). در تجزیه و تحلیل نقاط با محاسبه G_i استاتیک برای دمای سطح همراه با دمای سلول‌ها به دست می‌آید. G_i استاتیک مقدار ارزش z-score است؛ نشان می‌دهد که آیا این ویژگی‌ها با مقادیر بالا یا

مناسب است که پوشش گیاهی ناحیه مورد نظر را به دست آوریم (سوبرینو^۱، ۲۰۰۰؛ والوندا^۲، ۲۰۰۹). یکی از شایع‌ترین شاخص‌های پوشش گیاهی روش NDVI است، که می‌تواند با استفاده از رابطه (۱) پیشنهادی شده از طرف لسنند و کی فلار^۳ (۲۰۰۴) می‌باشد:

$$\text{رابطه (1)} \quad \text{NDVI} = \frac{b_4 - b_3}{b_4 + b_3}$$

برای تبدیل اعداد رقومی (DN) را به تابش طیفی از رابطه (۲) زیر استفاده می‌شود (لیو، ۲۰۱۱). رابطه (۲)

$$L\lambda = DN (L_{max} - L_{min}) / 255 + L_{min}$$

جایی که $L\lambda$ تابش طیفی در سنسور $MW \cdot cm^{-2} \cdot sr \cdot \mu m^{-1} \cdot 1$ است؛ L_{max} حداکثر تابش طیفی در حسگر سنسور است؛ L_{min} حداقل تابش طیفی در سنسور است؛ Q_{max} حداکثر مقدار DN پیکسل را نشان می‌دهد و Q_{dn} نشان‌دهنده مقدار DN پیکسل است. گام بعدی این است که تابش طیفی را به دمای روشنایی نسبت به تابش نور تبدیل کنیم (دش^۴، ۲۰۰۲). که از رابطه (۳) به دست می‌آید:

$$\text{رابطه (3)} \quad T_6 = K_2 / \ln(1 + K_1 / L\lambda)$$

در واقع، با استفاده از بخار آب، می‌توان میزان انتقال اتمسفری را تعیین کرد. محاسبه مقدار بخار آب از رابطه (۴) استفاده کرد:

$$\text{رابطه (4)}$$

$$w_i = 0.0981 \times \{10 \times] \times RH\} + 0.1697 \\ 0.6108 \times \exp[\frac{17.27 \times (T_0 - 273.15)}{273.3 + (T_0 - 273.15)}]$$

جایی که w_i مقدار بخار آب (g / cm²) است؛ T_0 دمای هوای زدیک به سطح در K است و RH نشان‌دهنده رطوبت نسبی است (کین، ۲۰۰۱، سان^۵، ۲۰۱۰). دقت دمای سطح به دست آمده از تصاویر ماهواره‌ای با استفاده از مدل‌های موجود باید ارزیابی گردد. با توجه به ارتباط بین دمای سطح زمین و دمای هوای که قبلًا توسط برخی از پژوهشگران انجام شده است (کین، ۲۰۰۱)، می‌توان دقت دمای سطح

6. Liu

7. Zhang

8. Jin

9. Bruns

1. Sobrino

2. Walawender

3. Lillesand and Kiefer

4. Dash

5. Sun

اهمیت آماری خوشبندی برای یک فاصله مشخص است (ESRI, 2018).

یافته‌های تحقیق

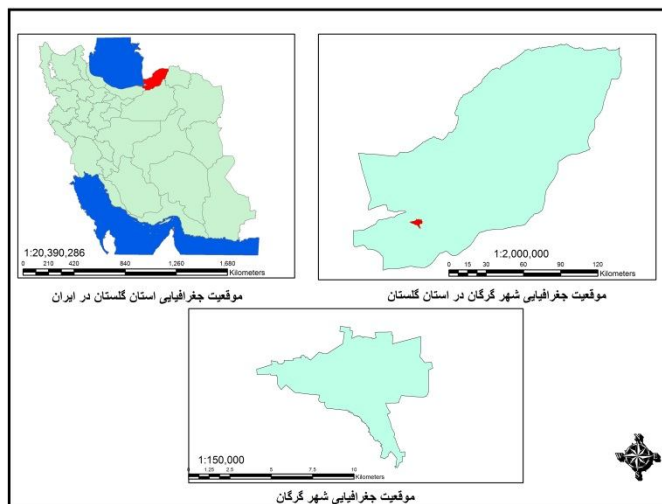
شهرگران از یک سو با توجه به موقعیت جغرافیایی خود در شمال ایران واقع شده که دارای آب و هوای ناحیه خزر و جزء اقلیم مدیترانه‌ای قرار می‌گیرد از سوی دیگر به علت این که این شهر به عنوان مرکز استان گلستان شناخته می‌شود یکی از شهرهای در حال توسعه و یکی از بزرگترین شهرهای شمال ایران است که بعد از شهر رشت عنوان دومین مرکز مهاجرت اقوام مختلف است. این شرایط باعث گسترش شهری و ایجاد آثار منفی اقليمی شهری از جمله آلودگی هوا، کاهش سطح آسایش و جزایر حرارتی در گرگان شده است. موقعیت جغرافیایی شهر گرگان در مرکز استان گلستان در محدوده قرار دارد، ۴۵ درجه ۱۰ دقیقه تا ۴۵ درجه ۴۵ دقیقه طول شرقی ۳۶ درجه ۴۴ دقیقه تا ۳۶ درجه ۵۸ دقیقه طول شمالی قرار گرفته است (حاجیزاده، ۱۳۹۹: ۳۲). شکل (۱) موقعیت محدوده مورد مطالعه را نشان می‌دهد.

پایین خوش می‌شوند. و به عنوان نقطه عطفی قبل توجه است، که یک ویژگی با ارزش بالا و در عین حال توسط ویژگی‌های دیگر با ارزش‌های بالا را احاطه کرده است. با فرض به این که منطقه مورد مطالعه با n اندازه‌گیری داریم، $X=[x_1, \dots, x_n]$ تمام مقادیر اندازه‌گیری شده در این منطقه است. z_i یک فاصله فضایی بین دو نقطه i و j برای همه $i, j \in \{1, \dots, n\}$ می‌باشد. آماره G_i استاتیک بر اساس رابطه (۷) محاسبه می‌شود:

رابطه (۷)

$$G_i^* = \frac{\sum_{j=1}^n w_{i,j} x_j - \bar{X} \sum_{j=1}^n w_{i,j}}{\sqrt{s \frac{\sum_{j=1}^n w_{i,j}^2 - (\sum_{j=1}^n w_{i,j})^2}{n-1}}}$$

\bar{X} تمام معیارهای اندازه‌گیری شده، S انحراف معیار تمام اندازه‌گیری‌های است. این آمار یک امتیاز z را ایجاد می‌کند که نشان‌دهنده اهمیت یک منطقه در ارتباط با مناطق اطراف آن است (گریگوراس، ۲۰۱۸). خروجی G_i استاتیک (z-score) که نشان‌دهنده



شکل ۱: موقعیت جغرافیایی منطقه مورد مطالعه

منظوری با استفاده از داده‌های ساعت ۰۶ ایستگاه داده‌ها مورد ارزیابی قرارگرفته است که در جدول (۱) تفاوت دمای تخمین زده شده و دمای ایستگاه در دوره مورد مطالعه آورده شده است. که میانگین خطای آن ۰,۹۰ می‌باشد. شایان ذکر است که این نتایج زمانی دقیق‌تر و علمی‌تر است که حتماً چند ایستگاه

با توجه به شرایط موجود جزایر حرارتی شهر گرگان یکی از چالش‌ها و مسائل جدید شهر، پیش روی مسئولان امر است. نتایج به دست آمده از جزایر حرارتی گرگان را اینگونه می‌شود ارائه کرد: با توجه به ساعت تهییه تصاویر ماهواره و با ارائه گزارش هواشناسی به وقت گرینویچ هم‌خوانی ندارد، به این

استخراج گردیده که حدود ۵ کیلومتر خارج از شمال گرگان استقرار یافته است.

در داخل شهر گرگان ایجاد شود. داده‌های دمای هوای مورد استفاده شده از ایستگاه فرودگاه شهر گرگان

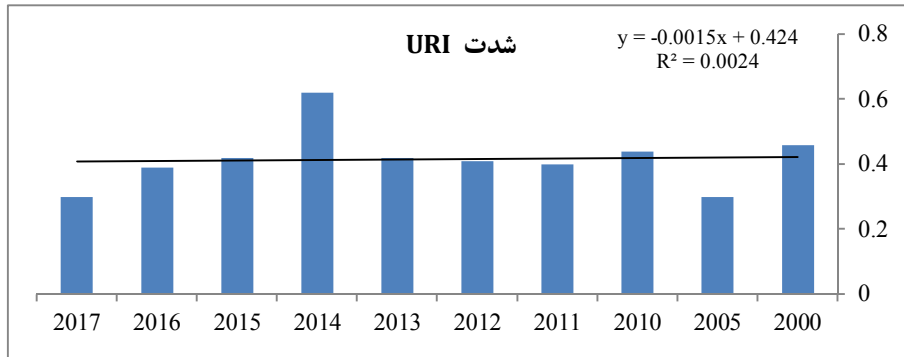
جدول ۱: تفاوت دمای تخمین زده شده و دمای ایستگاه در دوره مطالعه

| ایستگاه گرگان | | | | | | | | | | | |
|---------------|-------|-------|-------|-------|-------|-------|-------|-------|-------|---|-------------------------------|
| ۲۰۱۷ | ۲۰۱۶ | ۲۰۱۵ | ۲۰۱۴ | ۲۰۱۳ | ۲۰۱۲ | ۲۰۱۱ | ۲۰۱۰ | ۲۰۰۵ | ۲۰۰۰ | سطحی محاسبه شده از تصویر (LST) | سطحی محاسبه شده از تصویر (Ts) |
| دما | | | | | | | | | | | |
| ۴۹,۱ | ۶۲,۶۶ | ۷۲,۸۶ | ۶۸,۳۷ | ۵۶,۸۴ | ۴۴,۸۸ | ۴۲,۴۴ | ۷۲,۸۶ | ۶۳,۹۶ | ۵۶,۵۸ | دما | دما |
| ۲۹,۳۸ | ۳۰,۱۵ | ۳۲,۴۱ | ۳۱,۱۵ | ۳۰,۶۱ | ۳۱,۲۴ | ۳۱,۲۷ | ۳۲,۴ | ۳۰,۱۶ | ۳۲,۰۹ | هوای اندازه‌گیری شده در ایستگاه هواشناسی Ta | Ta و Ts |
| ۳۰,۴ | ۳۰ | ۳۰,۳ | ۳۲,۶ | ۳۱ | ۳۰,۶ | ۳۰,۲ | ۳۱,۴ | ۳۰,۶ | ۳۲,۲ | تسنی | تفاوت |
| ۱,۰۲ | ۰,۱۵ | ۲,۱۱ | ۱,۴۵ | ۰,۳۶ | ۱,۱۸ | ۱,۲۵ | ۱ | ۰,۴۴ | ۰,۱۱ | نوبندگان | منبع: محاسبة نوبندگان |

سال ۲۰۱۴ برمی‌گرد که حدود ۰,۶۲ درصد سطح شهر گرگان را در بر می‌گیرد و به شدت تحت تأثیر این دو موضوع قرار دارد. این در حالی است که کمترین شدت جزایر حرارتی در سال‌های ۲۰۰۵ و ۲۰۱۷ حدود ۰,۳۰ درصد از مساحت شهر بر می‌گردد. آنچه مسلم است، میانگین شدت جزایر حرارتی در دوره مطالعه حدود ۰,۴۱ درصد است. برای نمونه مقدار شاخص نسبت جزیره حرارتی را برای سال ۲۰۱۴ آورده شده است.

پس از به دست آوردن تفاوت دمایی سطحی و دمای هوای استخراج شدت جزایر حرارتی در دوره مطالعه پرداخته شده است. نتایج این امر نشان می‌دهد که بسته به شرایط اقلیمی حاکم بر منطقه از یکسو و همچنین موقعیت جغرافیایی شهر، گسترش شهرنشینی، تغییر کاربری عدم برنامه‌ریزی درست شهری از سوی دیگر شدت جزایر حرارتی را تحت تأثیر قرار می‌دهد که در نمودار (۱) شدت جزایر حرارتی شهر گرگان را نشان می‌دهد و بیانگر این دو موضوع است. اوج شدت جزایر حرارتی در این دوره به

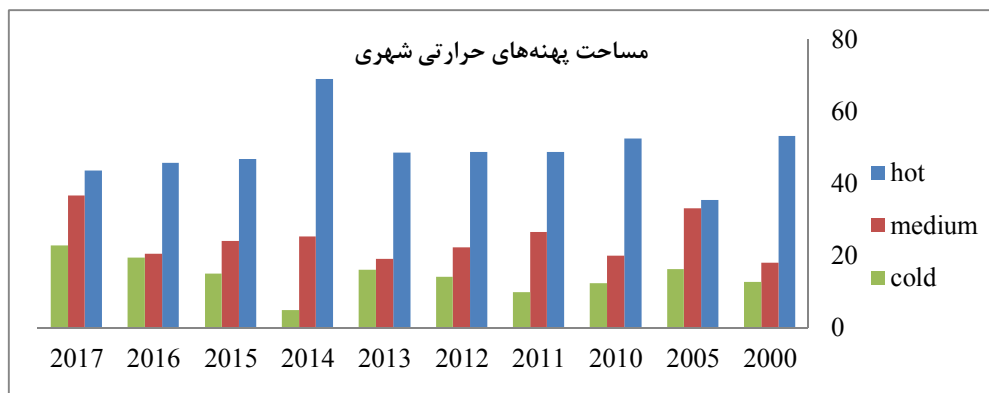
$$URI = \frac{1}{100 \times 5} \times \left(5 \times \frac{14.85}{42} \times 100 \right) + \left(4 \times \frac{14.2}{42} \times 100 \right) = 0.62$$



نمودار ۱: شدت جزایر حرارتی در دوره مطالعه

رونده تغییرات زمانی هر یک از طبقات دمایی به طور جداگانه بررسی شد. در نمودار (۲) روند تغییرات زمانی طبقات دمایی نشان داده می‌شود.

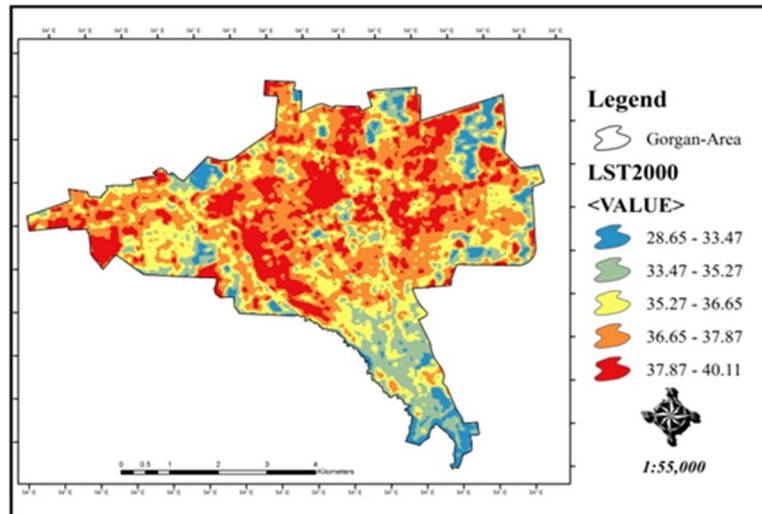
شدت جزایر حرارتی شهر به شدت روی نقاط دماهای بالا و پایین شهر اثر می‌گذارد. به منظور بررسی تغییرات زمانی داده‌های دمای سطحی گرگان،



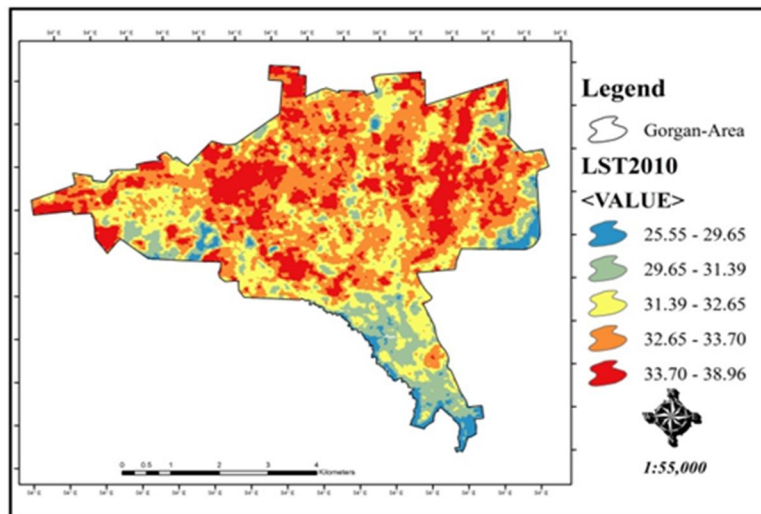
نمودار ۲: تغییرات زمانی طبقات دمایی در دوره مورد مطالعه

حاکم بر منطقه ارتباط نزدیکی دارد و کاربری شهری به عنوان عامل دوم در این وضعیت دخیل می‌باشد، این در حالی است که در همین سال پهنه‌ها با دمای متوسط و سرد به کمترین حد خود نسبت به سال‌های دیگر می‌رسد. در سال ۲۰۱۷ هم شرایط موجود به صورت یکنواخت مانند سال ۲۰۱۳ است. برای درک مناسب از این روند برای نمونه نقشه‌های پراکندگی دمایی سطح شهری گرگان برای سال‌های ۲۰۱۴ و ۲۰۰۰ و ۲۰۰۰ برای این منظور در شکل‌های (۴,۳,۲) آورده شده است.

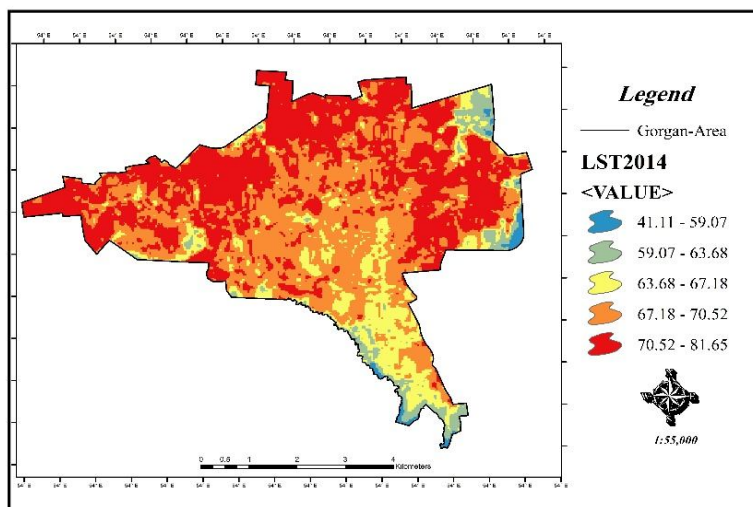
بر این اساس تغییرات در شهر گرگان در سال‌های ۲۰۰۰ و تا ۲۰۱۳ دارای روندی یکنواخت است. میانگین در این سال‌های مورد مطالعه ۵۰,۳۱ درصد از مساحت منطقه شهری را در بر می‌گیرد، در حالی که در سال ۲۰۰۵ این رقم به حدود ۳۵,۴۷ درصد می‌رسد. می‌توان گفت در این دوره‌ها درصد پهنه‌های دماهای متوسط و سرد به طور میانگین به ترتیب ۲۰۱۴ و ۱۴,۴۳ و ۲۴,۰۹ است. اوج پهنه گرم در سال ۲۰۱۴ اتفاق افتاده است که حدود ۶۸,۹۷ درصد از مساحت شهر را در بر گرفته است و به شدت به شرایط اقلیمی



شکل ۲: پراکندگی دمایی سطح شهری گرگان سال ۲۰۰۰



شکل ۳: پراکندگی دمایی سطح شهری گرگان سال ۲۰۱۰



شکل ۴: پراکندگی دمایی سطح شهری گرگان سال ۲۰۱۴

نخواهد بود. سرعت باد آستانه را می‌توان از رابطه (۸) تخمین زد (اوک، ۱۹۷۰).

رابطه (۸)

$$U_c = 3.4 \log p - 11.6$$

بر حسب متر بر ثانیه (ms^{-1}) و p جمعیت شهر است. براساس این رابطه در شهر گرگان با جمعیت ۵۰۰ هزارنفر میانگین سرعت باد باید حدود ۸ متر بر ثانیه باشد تا شدت جزایر حرارتی را تعديل یا از بین ببرد، اما آنچه می‌توان از شرایط باد در شهر گرگان گفت این است که حدود ۹۸٪ از بادها در منطقه جهت شمال غربی و با میانگین ۴,۵ متر بر ثانیه

آنچه که می‌تواند این پهنه‌های گرمایی را در شهر گرگان تحت تأثیر قرار دهد باد است، در حالی که گرمای شهری به طور گستردگی مورد مطالعه قرار گرفته است؛ اما دانش در مورد بادهای شهری و تغییرات آن هنوز به اندازه شرایط گرمایی نرسیده است. باد، نقش تعیین‌کننده‌ای در حذف جزیره گرمایی و یا تضعیف و کاهش شدت آن دارد (دراست، ۲۰۱۸). ب طوری که اگر سرعت باد در شهرها از یک سرعت باد آستانه (U_c) بیشتر شود امکان توسعه و تکامل جزیره گرمایی میسر

است. یکی از اساسی‌ترین رویکردهای موران این است که نشان دهد: آیا وابستگی فضایی وجود دارد؟ یا اطلاعات مربوط به وابستگی‌های موران جهانی در یک مجموعه قرارمی‌گیرد؟ این چنین مدل‌های فضایی براساس آزمون فرض است. شاخص موران در زمینه‌های محلی هم کاربرد دارد. هدف این شاخص نه تنها ارزش‌ها در سطح جهانی را شناسایی می‌کند، حتی بر نقاط محلی هم تمرکز می‌کند (برونز، ۲۰۱۷). شاخص موران دو نوع خروجی را ارائه می‌دهد. خروجی عددی و گرافیکی. به طور کلی اگر مقدار شاخص موران نزدیک به $+1$ باشد، داده‌ها دارای خودهمبستگی فضایی و دارای الگوی خوش‌های بوده و اگر مقدار شاخص موران نزدیک به عدد -1 باشد، آنگاه داده‌ها از هم‌گستته و پراکنده خواهند بود. خروجی گرافیکی، پراکنده یا خوش‌های بودن داده‌ها را نشان می‌دهد. در مورد این ابزار، فرضیه صفر این است که هیچ نوع خوشبندی فضایی بین مقادیر عنصر مرتبط با عوارض جغرافیایی مورد نظر وجود ندارد. زمانی که مقدار سطح معنی‌داری بسیار کوچک و مقدار Z محاسبه شده (قدر مطلق آن) بسیار بزرگ باشد (خارج از محدوده اطمینان قرار گیرد)، آنگاه می‌توان فرضیه صفر را رد کرد. اگر مقدار شاخص موران بزرگ‌تر از صفر باشد، داده‌ها خوشبندی فضایی را نشان می‌دهند و اگر مقدار شاخص کمتر از صفر باشد عوارض مطالعه شده دارای الگوی پراکنده هستند. در جدول (۲) شاخص موران در تمام دورها مورد مطالعه آورده شده است.

هستند و این در حالی است که 2% مابقی بادهای منطقه در جهات غرب، شمال‌شرقی و شرقی با سرعت 4 متر بر ثانیه است. این موضوع ثابت می‌کند میانگین سرعت باد در منطقه این توان را ندارد که بتواند این شرایط جزایر حرارتی را در سطح شهر کاوش بدهد برای نمونه سرعت و جهت باد در سال 2014 به ترتیب جهات شمال‌غربی و شرقی و به‌طور میانگین 3 متر بر ثانیه است. از یکسو شرایط اقلیمی در منطقه و از سوی دیگر ساختار شهری به‌شدت این عامل را تضعیف می‌کند که باعث ایجاد تنش‌های حرارتی برای ساکنان شهر به‌خصوص در مناطق شمالی شهر به همراه می‌آورد. اما از یکسو می‌توان گفت شرایط توپوگرافی شهر می‌تواند بخشی از شهر گرگان را از اثرات جزایر حفظ کند و تنش‌های حرارتی را تعدیل کند. در نقشه‌های بالا به وضوح دیده می‌شود که مناطق جنوبی شهر به طرف ارتفاعات و جنگلهای منطقه کشیده شده است. در طول روز این اختلاف فشاری بین ارتفاعات و دشت ایجاد می‌شود و بادهای محلی را ایجاد می‌کند و براساس ساختار شهر خیابان‌های شمالی، جنوبی باد ایجاد شده را به صورت کانالیزه شده تا عمق شهر نفوذ داده و باعث تعديل این شرایط می‌گردد که نقشه‌های شماره (۲۰۱۴) این موضوع را به خوبی نشان می‌دهد. هدف تجزیه و تحلیل درجه حرارت در یک شهر، یافتن جالب‌ترین مناطق مهم آن است (بدوین، ۲۰۱۵). هدف از همه این شبیه‌سازی‌ها، تجزیه و تحلیل نقاط گرم در زمین آمار

جدول ۲: شاخص موران در دوره مورد مطالعه

| | ... | ۲۰۰۵ | ۲۰۱۰ | ۲۰۱۱ | ۲۰۱۲ | ۲۰۱۳ | ۲۰۱۴ | ۲۰۱۵ | ۲۰۱۶ | ۲۰۱۷ |
|----------------|------------|------------|------------|------------|------------|------------|------------|------------|------------|------------|
| Moran's Index | 0.927593 | 0.928911 | 0.933293 | 0.939184 | 0.954657 | 0.946329 | 0.958677 | 0.949411 | 0.963973 | 0.940473 |
| Expected Index | -0.000025 | -0.000025 | -0.000025 | -0.000025 | -0.000025 | -0.000025 | -0.000025 | -0.000025 | -0.000025 | -0.000025 |
| Variance | 0.000007 | 0.000007 | 0.000007 | 0.000013 | 0.000013 | 0.000007 | 0.000013 | 0.000013 | 0.000013 | 0.000007 |
| z-score | 361.192492 | 360.494554 | 362.233832 | 262.453840 | 266.707669 | 367.285567 | 267.901541 | 265.309161 | 269.372829 | 365.019685 |
| p-value | 0.000000 | 0.000000 | 0.000000 | 0.000000 | 0.000000 | 0.000000 | 0.000000 | 0.000000 | 0.000000 | 0.000000 |

مأخذ: نگارندگان

محلی برای خوشبازی یا تصادفی بودن استفاده گردید به خاطر این است که موران جهانی تنها رفتار خوشبازی جزایر حرارتی را نشان می‌دهد. این آماره نمی‌تواند بیانگر نوع رفتار فضایی پدیده باشد؛ ضمن شناخت از رفتار خوشبازی بر روی جزایر حرارتی روی نقشه به نمایش در آورد؛ لذا برای آشکارسازی نحوه - جزایر حرارتی از نظرالگوی توزیع پراکندگی‌های فضایی از آماره محلی موران استفاده شده است. در جدول ۳ شاخص G_i استاتیک در تمام دوره مورد مطالعه آورده شده است.

طبق جدول شاخص موران در تمام دوره‌ها جزایر حرارتی شهرگران دارای الگوی خوشبازی بالای در سطح اطمینان ۹۹ درصدی می‌باشد. این در حالی است در دوره‌ای ۲۰۱۴، ۲۰۱۰، ۲۰۰۰ و Z مقدار $z = 267.90$ و $z = 362.23$ ، $z = 361.19$ می‌باشد؛ بنابراین با توجه به بالابودن مقدار Z و پایین بودن مقدار ارزشی سطح معنی‌داری می‌توان فرضیه وجود نداشتن خودهمبستگی فضایی بین داده جزایر حرارتی شهرگران را رد نمود. نتایج موران محلی به پرسش آیا عوارض به صورت تصادفی، پراکنده یا خوشبازی در فضا توزیع شده‌اند؟ پاسخ می‌دهد. علت این که از موران

جدول ۳: شاخص G_i در دوره مورد مطالعه

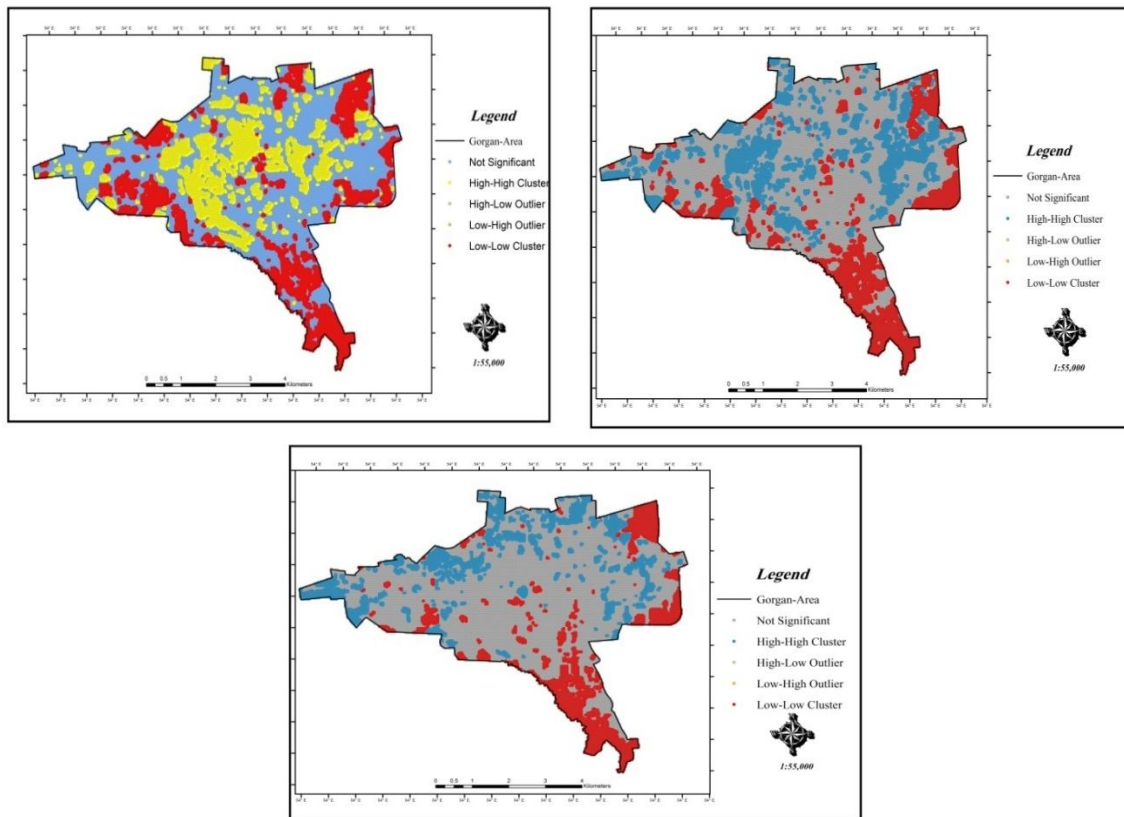
| | ۲۰۰۰ | ۲۰۰۵ | ۲۰۱۰ | ۲۰۱۱ | ۲۰۱۲ | ۲۰۱۳ | ۲۰۱۴ | ۲۰۱۵ | ۲۰۱۶ | ۲۰۱۷ |
|----------------------|-----------|-----------|------------|------------|------------|------------|------------|------------|------------|------------|
| Observed General G | 0.000006 | 0.000006 | 0.000025 | 0.000025 | 0.000025 | 0.000025 | 0.000025 | 0.000025 | 0.000025 | 0.000025 |
| Expected General G | 0.000006 | 0.000006 | 0.000025 | 0.000025 | 0.000025 | 0.000025 | 0.000025 | 0.000025 | 0.000025 | 0.000025 |
| Variance | 0.000000 | 0.000000 | 0.000000 | 0.000000 | 0.000000 | 0.000000 | 0.000000 | 0.000000 | 0.000000 | 0.000000 |
| Z -score | 89.707148 | 93.711261 | 191.957930 | 102.321446 | 136.250078 | 178.600164 | 128.192291 | 143.719405 | 167.702391 | 168.589163 |
| p-value | 0.000000 | 0.000000 | 0.000000 | 0.000000 | 0.000000 | 0.000000 | 0.000000 | 0.000000 | 0.000000 | 0.000000 |

مأخذ: نگارندگان

است، LL بیانگر خوشبازی‌های مقادیر کم یا خودهمبستگی فضایی منفی در سطح ۹۹ درصد اطمینان است، HL نشانگر ناخوشبازی بودن است که در آن مقادیر زیاد توسط مقادیر کم محاصره شده‌اند و LH تک سلول‌هایی است که در آن عارضه دارای مقدار کم، توسط عوارض دارای مقادیر زیاد محاصره شده‌اند و از نظر آماری معنادار (سطح ۵ درصد) هستند را از یکدیگر متمایز می‌کند.

شاخص G_i بیان کننده این موضوع است که شاخص موران را در سطح ۹۹ درصد تایید می‌کند. براساس این شاخص ۵ سطح جزایر حرارتی شهر را مورد برآذش قرارداده شده است که بهترتب در اشکال (۵، ۶، ۷) و در سال‌های ۲۰۰۰، ۲۰۱۰، ۲۰۱۴ این شاخص را نشان می‌دهد.

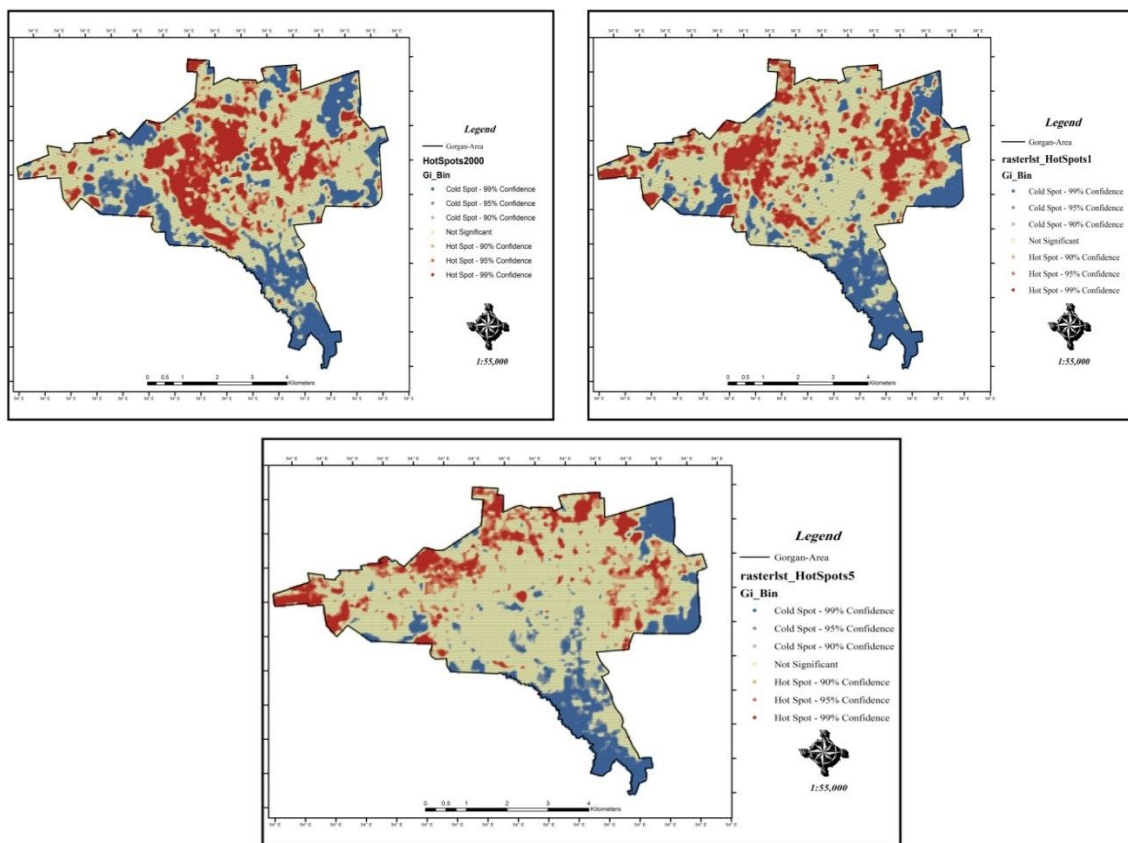
خوشبازی‌های خروجی مدل با حروف اختصاری چون، HH که بیانگر خوشبازی‌های مقادیر زیاد یا خود همبستگی فضایی مثبت در سطح ۹۹ درصد اطمینان



شکل‌های (۵،۶،۷): به ترتیب شاخص $GdpG_i$ از سمت چپ ۲۰۰۰، راست ۲۰۱۰ و پایین ۲۰۱۴

هستند که به خوبی شرایط توپوگرافی (ارتفاع) پوشش گیاهی و بادهای محلی در طول روز را نشان می‌دهد و با نقاط کمترین درجه حرارت شهری منطبق می‌باشد. به دلیل این که توزیع فضایی خوشه‌ها دقیق در منطقه تعیین می‌شود از شاخص‌های اسپات استفاده شده است. این روش نوعی Z امتیاز است. برای امتیاز Z مثبت و معنادار از نظر آماری، هر چه امتیاز Z بزرگتر باشد، مقادیر بالا به میزان زیادی خوشبندی شده و لکه داغ را تشکیل می‌دهند. برای امتیاز Z منفی و معنادار از نظر آماری، هر چه امتیاز Z کوچکتر باشد، به معنای خوشبندی شدیدتر مقادیر پایین خواهد بود و این‌ها در حقیقت لکه‌های سرد را نشان می‌دهند. در اشکال شماره (۸،۹،۱۰) نتایج تحلیل مناطق سرد و گرم جزایر حرارتی شهر نشان داده شده است.

نتایج نشان می‌دهد که در مناطق مرکزی، شمالی، شمال‌غربی و غرب شهر دارای پهنگ گرم و شدید جزایر حرارتی با سلول‌های شاخص بالا شهر منطبق است. این شرایط در سال ۲۰۰۰ نشان از مرکز در مرکز شهر و در سال ۲۰۱۰ به غیر مرکز قسمت‌های شمال و شمال‌غرب شهر را در بر می‌گیرد. در ۲۰۱۴ این پراکنش در شمال، شمال‌غربی و غرب شهر تمرکزدارد. حدود ۴۵ درصد شهر هیچ نوع الگویی حاکم نبوده و یا به عبارتی فاقد خودهمبستگی فضایی است. این وضعیت در تمام سطح شهر در دوره مورد مطالعه وجود دارد، اما بیشتر در مرکز شمال شهر به چشم می‌خورد. از لحاظ تک سلول‌ها LH و HL نشانگر ناخوشه‌ای بودن در سطح شهر دیده نمی‌شود. از نظر شرایط لکه‌های پایین-پایین باید گفت این شاخص درست در مناطق شرقی و جنوبی شهر حاکم



شکل‌های (۱۰، ۹، ۸): نتایج نقاط گرم و سرد در سال به ترتیب از چپ سال ۲۰۰۰، راست ۲۰۱۰ و پایین ۲۰۱۴

طبیعی و انسانی در به وجود آوردن نقاط سرد دخیل بوده است. شرایط طبیعی به علت شرایط توپوگرافی و پوشش گیاهی در این مناطق و ارتفاع در قسمت جنوبی که خود باعث ایجاد اختلاف فشار بین کوه و دشت می‌شود و رطوبت پوشش گیاهی و ساختاری شهری منظم‌تر و به‌قاعده باعث ایجاد شرایطی می‌شود که این مناطق دمای مناسب‌تری نسبت به دیگر مناطق شهری داشته باشد.

جمع‌بندی و نتیجه‌گیری

با توجه به موقعیت جغرافیایی شهر گرگان در این پژوهش به بررسی تحلیل فضایی- زمانی جزایر حرارتی شهری پرداخته شده. اهمیت این پژوهش با توجه به تغییرات اقلیمی و توسعه کاربری اراضی شهری در این منطقه که باعث ایجاد جزایر حرارتی در شهر گرگان شده است. براساس نتایج به‌دست آمده نشان می‌دهد که در شهر گرگان جزایر حرارتی رخ داده است که

شاخص لکه‌های گرم و سرد (Hot Spot) دارای توانایی تجزیه و تحلیل نقاط مختلف و مناسب است. با توجه به این توانایی در تجزیه و تحلیل جزایر حرارتی به شناسایی نقاطی که دمای آن به‌طور معنی‌داری نسبت به میانگین دمای منطقه باشد می‌پردازد. این قدرت تجزیه و تحلیل نقاط در این شاخص به شدت به نتایج به‌دست آمده از آماره G_i می‌باشد. با توجه به نتایج شاخص شاخص لکه‌های گرم و سرد جزایر حرارتی شهر گرگان نشان می‌دهد که لکه‌های گرم با نقاط در مرکز، شمال و شمال غرب شهر در سطح اطمینان ۹۹ درصد طبیق دارد. که این مناطق بهشت تحت شرایط ساختار شهری، کاربری اراضی و تراکم جمیت در این مناطق است که به شدت درجه حرارت شهری را بالا می‌برد. این در حالی است نقاط سرد در سطح اطمینان ۹۹ درصد در مناطق شرقی و جنوبی شهر استقرار دارد که نشان‌دهنده این موضوع است که شرایط

شاخص خودهمبستگی فضایی به تحلیل جزایر حرارتی شهر پرداخته شد. نتایج این شاخص‌ها نشان می‌دهد که جزایر حرارتی شهر دارای الگوی خوش‌های درسطح اطمینان ۹۹٪ در تمام دوره‌است. این درحالی است که آزمون G نتایج موران را تایید می‌کند و در حالی است که لکه‌های داغ و سرد درست با مناطق گرم و سرد در شهر منطبق است. آنچه که مسلم است نتایج این پژوهش نشان داد که دو عامل اصلی در تغییرات زمانی و مکانی جزایر حرارتی شهر گرگان مؤثر هستند که به ترتیب شرایط اقلیمی حاکم بر منطقه و دوم شرایط تغییرات بی‌برنامه در کاربری اراضی شهری است که در شدت زمانی و مکانی این جزایر دخیل بوده است. نتیجه به دست آمده از این پژوهش با نتایج کارهای انجام گرفته توسط صادقی‌نیا (۱۳۹۳) که الگوی خوش‌های بالا از جزایر حرارتی شهر تهران به دست آمده و از نظر زمانی و مکانی این جزایر به تغییرات کاربری اراضی شهر تهران وابسته است. نتایج ترکاشوند (۱۳۹۵) نشان می‌دهد با استفاده از الگوی تک پنچره‌ای جزایر حرارتی شهر اراک، دارای رفتار خوش‌های بالاست و نتایج لکه‌های داغ (Hot Spot) این مسئله را تأیید می‌کند.

۴. رنجبر سعادت آبادی، عباس، علی‌اکبری بیدختی، عباس‌علی صادقی، سید علیرضا حسینی، ۱۳۸۴. آثار جزیره گرمایی و شهرنشینی روی وضع هوا و اقلیم محلی در کلان‌شهر تهران براساس داده‌های مهرآباد و رام‌مین، مجله محیط‌شناسی، شماره ۳۹، ۵۹-۶۸.

۵. سasan پور، فرزانه، پرویز ضیاییان، پرویز، مریم بهادری، ۱۳۹۲. بررسی رابطه کاربری و پوشش اراضی و جزایر حرارتی شهر تهران، مجله جغرافیا: زمستان، دوره ۱۱، شماره ۳۹ از صص ۲۵۶-۲۷۰.

۶. صادقی نیا، علیرضا، بهلول علیجانی، پرویز ضیاییان، ۱۳۹۲. کاربرد تکنیک‌های خود همبستگی فضایی در تحلیل جزیره حرارتی شهر تهران، نشریه تحقیقات کاربردی علوم جغرافیایی سال سیزدهم، شماره ۳۰، ۹۰-۶۷.

۷. قبادی، اسداله، ۱۳۹۵. تبیین و تحلیل زمانی- مکانی پدیده جزیره گرمایی شهر کرج با تأکید بر مدیریت

شدت آن در سال ۲۰۱۴ در حدود ۶۲ درصد از مساحت شهری را در بر گرفته است. این درحالی است که این جزایر بیشتر در مناطق شمالی، شمال‌غربی و شرقی و مرکز شهر رخ داده است. به طور میانگین شدت جزایر حرارتی شهری در دوره‌های مورد مطالعه حدود ۴۱ درصد از مساحت شهر را دربرگرفته است. با توجه به این موضوع یکی از عناصری که می‌تواند اثرات جزایر حرارتی شهری را کاهش دهد سرعت باد است، اما به علت شرایط اقلیمی و انسانی شهر، سرعت باد به صورت میانگین در دروغه مورد مطالعه حدود ۴.۵ متر بر ثانیه است که با توجه به فرمول باد اوک و جمعیت شهر گرگان میانگین سرعت بادی که بتواند اثر تعديل‌کننده در این مورد بازی کند حدود ۸ متر بر ثانیه است، اما آنچه مورد توجه بیشتر است وجود بادهای محلی در شهر گرگان است که در قسمت جنوبی شهر که از ارتفاعات به طرف دشت در طول روز شکل می‌گیرد است. با توجه به ساختار شمالی جنوبی خیابان‌های شهر و جهت ساختمان‌ها این باد را تا مرکز شهر آورده و باعث تعديل‌کنندگی این جزایر حرارتی در جنوب شهر گرگان می‌شود که در تمام دوره‌های مورد مطالعه حائزهایی است. در ادامه با

منابع

۱. بابایی فینی، ام‌السلمه، ۱۳۹۴. بررسی رابطه دمای سطح زمین و شاخص بهنجار شده پوشش گیاهی در محیط شهری (مطالعه موردی: کلان‌شهر اصفهان)، جغرافیای طبیعی لارستان، دوره ۸، شماره ۲۹، پاییز، صفحه ۷۵-۹۰.
۲. ترکاشوند، محمدقاسم، ۱۳۹۵. آشکارسازی جزایر حرارتی شهر اراک مبتنی بر تحلیل‌های خود همبستگی فضایی، مجله آمایش محیط، دوره ۹، شماره ۳۵، زمستان، صفحه ۱۲۳-۱۴۸.
۳. حاجی‌زاده، فاطمه، سید‌حمد میرکریمی، سلمان عبدالرسول ماهینی، مرجان محمدزاده، ۱۳۹۹. سنجش و زوئنندی کیفی محیط سکونت شهریبا تأکید بر تصویر ذهنی شهر وندان مطالعه موردی: شهر گرگان، مجله آمایش جغرافیایی فضای سال دهم، شماره ۳۲، مسلسل سی و هفتم، پاییز صفحه ۳۲.

16. Droste, A.M., Steeneveld, G.J. and Holtslag, A.A.M. 2018, Introducing the urban wind island effect, *Environ. Res. Lett.* 13, 094007 <https://doi.org/10.1088/1748-9326/aad8ef>.
17. ESRI, 2018. How Hot Spot Analysis: Getis-Ord Gi* (Spatial Statistics) works [WWW Document]. URL <http://pro.arcgis.com/en/pro-app/tool-reference/spatial-statistics/h-how-hot-spot-analysis-getis-ord-gispatial-stati.htm> (accessed 2.21.18).
18. Fan, F., Wang, Y. and Wang, Z. 2008, "Temporal and spatial change detecting (1998–2003) and predicting of land use and land cover in Core corridor of Pearl River Delta (China) by using TM and ETM+ images," *Environmental Monitoring and Assessment*, 137(1): 127-147.
19. Grigoraş, G., and Urişescu, B. 2018. Spatial hotspot analysis of bucharest's urban heat island (uhi) using modis data, annals of Valahia University of targoviste. Geographical series, 18(1): 14-22. DOI: 10.2478/avutgs-2018-0002.
20. Hardy, C.H., Nel et al. 2015. Data and techniques for studying the urban heat island effect in johannesburg, The international Archive of photogrammetry, Remote sening and Spatiol information science. XL-7/W.11-15 May, Berlin, Germany.
21. Islam, Abou El-Magd, Ahmed, Ismail, Naglaa, Zanaty, 2016. Spatial Variability of Urban Heat Islands in Cairo City, Egypt using Time Series of Landsat Satellite Images, International Journal of Advanced Remote Sensing and GIS, 5(3): 1618-1638.
22. Jat, Mahesh Kumar, Choudhary, Mahender, Saxena, Ankita. 2017. Urban growth assessment and prediction using RS, GIS and SLEUTH model for a heterogeneous urban fringe, The Egyptian Journal of Remote Sensing and Space Sciences, DOI:10.1016/j.ejrs.2017.02.002.
23. Jin, M., Li, J., Wang, J., and Shang, R. 2015. A practical split-window algorithm for retrieving land surface temperature from Landsat-8 data and a آبدو و مدل‌سازی خرد اقلیم محلی، رساله دکتری، استاد راهنما دکتر محمود خسروی، دانشکده علوم انسانی سیستان و بلوچستان، گروه جغرافیا.
۸. کریمی فیروزجایی، محمد، مجید کیاورز، سید کاظم علوی پناه، ۱۳۹۶. پایش و پیش‌بینی شدت جزیره حرارتی شهر بابل با توجه به گسترش شهری و تغییرات کاربری اراضی در بازه زمانی ۱۳۶۴-۱۳۹۴، نشریه علمی پژوهشی مهندسی فناوری اطلاعات مکانی، سال پنجم، شماره سوم، پاییز، صفحات: ۱۴۲-۱۵۱.
۹. محرومی، جاوید، ۱۳۹۳. بررسی نقش کاربری اراضی در تولید جزیرگرمای شهری (مطالعه موردی: شهر تبریز)، رساله کارشناسی ارشد، اساتید راهنما دکتر سعید جهانبخش اصل و دکتر خلیل ولیزاده کامران، دانشکده علوم انسانی تبریز، گروه جغرافیا.
۱۰. متکان، علی‌اکبر، نوحه‌گر، احمد، میرباقری، بابک، ترک چین، ناهید، ۱۳۹۳. تحلیل نقش کاربری اراضی در شکل‌گیری جزایر حرارتی با استفاده از داده‌های چند زمانه سنجنده ASTER (مطالعه موردی: شهر بندرعباس)، سنجش از دور و سامانه اطلاعات جغرافیایی در منابع طبیعی (سال پنجم/ شماره چهارم) زمستان، صص ۱۴-۱.
۱۱. نارنگی‌فرد، مهدی، احمد مزیدی، اسماعیل عبدالی. ۱۳۹۵. واکاوی الگوهای دمایی در ارتباط با کاربری‌های شهری با به‌کارگیری داده‌های سنجش از دور (مطالعه موردی: شهر کرمانشاه)، مطالعات برنامه‌ریزی سکونتگاههای انسانی، سال یازدهم، شماره ۳۵، ۳۵ تابستان، صص. ۳۱-۱۷.
12. Bruns, J., and Simko, V. 2017. Stable Hotspot Analysis for Intra-Urban Heat Islands, *GI_Forum* 2017, Issue 1. Page: 79-92.
13. Baudouin.Martin, P.Y. and Gachon, P. 2015. An alternative method to characterizethe surface urban heat island. *Int. J. Biometeorol.* 59: 849–861. doi:10.1007/s00484-014-0902-9.
14. Chandler, T. 1970. "Selected bibliography on urban climate. Tech," note.
15. Dash, P., Gottsche, F.M., Olesen, F.S., and Fischer, H. 2002. Land surface temperature and emissivity estimation from passive sensor data: theory and practice-current trends. *Int. J. Remote Sens.* 23(13): 2563-2594.

32. Victoria, M., and Igor. E. 2017. Seasonal and Spatial Characteristics of Urban HeatIslands (UHIs) in Northern West Siberian Cities, *Journal Remote Sens.*, 9: 989; 1-15 DOI:10.3390/rs9100989.
33. Voogt, J.A. and Oke, T.R. 2003. "Thermal remote sensing of urban climates," *Remote sensing of environment*, 86(3): 370-384.
34. Walawender J. 2009, Wykorzystanie danych satelitarnych Landsat I technik GIS w badaniach warunków termicznych miasta (na przykładzie aglomeracji krakowskiej) (Application of LANDSAT satellite data and GIS techniques for estimation of thermal conditions in urban area (using an example of Kraków agglomeration)). *Prace Geograficzne* 122: 81–98.
35. Wang, Yupeng, Berardib, Umberto, Akbaria, Hashem. 2015. The Urban Heat Island effect in the city of Toronto, *Procedia Engineering* 118: 137–144, doi: 10.1016/j.proeng.2015.08.412.
36. Wu, J. 2014. "Urban ecology and sustainability: The state-of-the-science and future directions," *Landscape and Urban Planning*, 125: 209-221.
37. Yu, Xiaolei, Guo, Xulin, Wu, Zhaocong, 2014. Land Surface Temperature Retrieval from Landsat 8 TIRS—Comparison between Radiative Transfer Equation-Based Method, Split Window Algorithm and Single Channel Method, *Remote Sens.*, 6: 9829-9852; doi:10.3390/rs6109829.
38. Zhang, L., Zhou, D., Zhao, S., Sun, G., and Liu, Y. 2015. The footprint of urban heat island effect in China. *Sci. Rep.*, 5: 11160.
39. Zhu, X.L., Chen, J., Gao, F., Chen, X.H. and Masek, J.G. 2010. "An enhanced spatial and temporal adaptive reflectance fusion model for complex heterogeneous regions," (in English), *Remote Sensing of Environment*, 114 (11): 2610-262.
- case study of an urban area in China. *Remote Sens.*, 7: 4371-4390.
24. Liu, L., and Zhang, Y. 2011. Urban Heat Island Analysis Using the Landsat TM Data and ASTER Data: A Case Study in Hong Kong, *Journal Remote Sens.* 3: 1535-1552. DOI: 10.3390/rs3071535.
25. Liu, C., and Li, Y. 2017. Spatio-temporal Features of Urban Heat Island and its Relationship with Land Use / Cover in Mountainous City: A Case Study in Chongqing, / *Journal sustainability, Sustainability*, 10, 1943; DOI: 10.3390/su10061943.
26. Lillesand, T.M., and Kiefer, R.W. 2004. *Remote sensing and image interpretation*. Wiley, Toronto.
27. Oke, T.R. and Hannell, F.G. 1970. The form of the urban heat island in Hamilton, Canada. In *Urban Climates*, WMO Tech. Note, 108:113-126.
28. Qin Z., Karnieli, and Berliner, A.P. 2001. A mono-window algorithm for retrieving land surface temperature from Landsat TM data and its application to the Israel-Egypt border region. *Int. J. Remote Sensing*, 22 (18): 3719-3746.
29. Sobrino, J.A., and Raissouni, N. 2000. Toward remote sensing methods for landcover dynamic monitoring: application to Morocco. *Int. J. Remote Sens.* 21: 353–366. DOI: 10.1080/014311600210876.
30. Sun, Q., Tan, J., and Xu, Y. 2010. An ERDAS image processing method for retrieving LST and describing urban heat evolution: A case study in the Pearl River Delta Region in South China. *Environ. Earth Sci.*, 59: 1047-1055.
31. Schwarz, N., Schlink, U., Franck, U. and Großmann, K. 2012. "Relationship of land surface and air temperatures and its implications for quantifying urban heat island indicators— An application for the city of Leipzig (Germany)," *Ecological Indicators*, 18: 693-704.,

